

پایش داده‌های سانسور شده از چپ در فرایند‌های چند مرحله‌ای مبتنی بر مدل رگرسیون تحلیل بقا

شروعین اسدزاده (استادیار)

گروه مهندسی صنایع، دانشکده فنی و مهندسی، دانشگاه آزاد اسلامی واحد تهران شمال

امروزه تولید اغلب محصولات حاصل فرایند‌هایی با چندین مرحله است. در هر بخش از فرایند‌های چند مرحله‌ای متغیرهایی با ماهیت قابلیت اطمینان، می‌توانند عملکرد فرایند را تحت تأثیر قرار دهند. این متغیرها ویژگی‌های منحصر به‌فردی چون سانسورشدنگی و پیروی از توزیع‌های خانواده مکان - مقیاس و لگاریتم - مکان - مقیاس دارند. در این نوشته از کک راهکارهای کنترل فرایند آماری پیش‌رفته و رویکردهای مدل‌سازی، داده‌های قابلیت اطمینان در حضور سانسورشدنگی از چپ پایش شده است. بدین منظور، ابتدا مدل سازی داده‌ها به کمک مدل‌های رگرسیونی تحلیل بقا مورد مطالعه قرار گرفت. سپس رویکردهای پایش بر اساس نمودارهای کنترل جمع تجمعی و میانگین متحرک موزون نمایی به کمک تشکیل تابع درست‌نمایی و مقدار ارزش انتظاری ارائه شده و متعاقباً توسط شاخص‌های متوسط طول دنباله مورد توجه قرار گرفته است. در نهایت عملکرد برترین نمودار کنترل به صورت مطالعه‌ی موردي در کارخانه‌ی تک‌تاب طریق مورد بررسی قرار می‌گیرد.

واژگان کلیدی: مدل رگرسیون تحلیل بقا، سانسورشدنگی از چپ، مقدار ارزش انتظاری، فرایند چند مرحله‌ای، تابع درست‌نمایی.

sh_asadzadeh@iau-tnb.ac.ir

۱. مقدمه

یک جزء یا قسمت محصول که از عملکرد رضایت‌بخش و قابل قبول آن خودداری می‌کند.^[۱] در حوزه‌ی قابلیت اطمینان، فرایند‌ها عموماً به وسیله یک توزیع پارامتری مدل‌سازی می‌شوند و جنبه‌های مختلف مورد دلخواه، از طریق پارامترهای آن توزیع مطالعه و بررسی می‌شود. اما ویژگی‌های منحصر به‌فرد داده‌های مرتبط با قابلیت اطمینان، ارائه رویکرد پایش و بنا نهادن نمودارهای کنترل را با مشکل رو به رو می‌سازد. از مهم‌ترین آن ویژگی‌ها می‌توان به دو موضوع سانسورشدنگی^[۲] و پیروی از توزیع‌های خاص شامل خانواده مکان - مقیاس^[۳] (نرم‌ال، لجستیک و مقدار حدی) و لگاریتم - مکان - مقیاس^[۴] (لگ نرم‌ال، لگ لجستیک و ویبول) اشاره کرد.

سکو و همکاران^[۵] از توزیع احتمالی ویبول و لگ لجستیک به عنوان توزیع زمان بقای بیمار استفاده کرده‌اند. آنان نمودار کنترل تعديل ریسک شده مبتنی بر توزیع لگ لجستیک را با نمودار کنترل مشابه مبتنی بر توزیع برنولی مقایسه کرده‌اند. اشتاینر و جنز^[۶] یک نمودار کنترل میانگین متحرک موزون نمایی به هنگام شده معرفی کرده‌اند که همان نمودار کنترل تعديل ریسک شده نوین بر مبنای مدل زمان شکست تسریع یافته است. زنگ و همکاران^[۷] با تمرکز بر فاز یک نمودارهای کنترل، به ارائه نمودار کنترل شوهارت تعديل ریسک شده بر مبنای آماره‌ی آزمون نسبت درست‌نمایی پرداخته‌اند. اسدزاده و آقایی^[۸] به منظور پایش قابلیت اطمینان در فرایند‌های چند مرحله‌ای با مشخصه‌ی کیفی خروجی متأثر از مراحل قبلی در حضور دو سانسورشدنگی ثابت و متغیر از راست، نمودار کنترل جمع تجمعی مبتنی بر

مرغوبیت و کیفیت محصول نشان‌گر درجه‌ی شکوفایی و میزان بلوغ صنعتی است. در این راستا، کنترل فرایند آماری استفاده از روش‌ها و سیستم‌هایی است که اطمینان می‌دهد محصول ارائه شده طی یک فرایند پایدار و مطابق با مشخصات و استانداردهای کیفی لازم تولید شود. امروزه تولید اغلب محصولات حاصل فرایند‌هایی چند مرحله‌ی هستند، بدین ترتیب که در هر مرحله متغیرهایی تأثیرگذار بر پیکرده‌ی فرایند، پیشبرد آن را محقق می‌سازند. در فرایند‌های چند مرحله‌ی تغییر مشخصه‌ی کیفی در هر مرحله، مشخصه‌ی کیفی مرحله‌ی بعد را تحت تأثیر قرار خواهد داد؛ از این ویژگی با عنوان «خاصیت آبشاری»^[۹] نام می‌برند.^[۱۰] اذای برای کنترل یک فرایند چند مرحله‌ی، اطلاع از روابط مراحل میانی ضروری است؛ مدل سازی در این فرایندها نیازمند شناسایی دقیق ارتباط بین متغیرها و انتخاب و ارائه‌ی مناسب‌ترین رویکرد برای پایش و کنترل آنهاست.^[۱۱]

از طرفی قابلیت اطمینان یک سیستم عبارت است از «احتمال کارکرد سالم و بدون عیب برای مدت زمان مشخص طبق شرایط موجود و از پیش تعیین شده». در همین راستا، گاهی قابلیت اطمینان را کیفیت در طول زمان تعریف می‌کنند. در ساده‌ترین حالت می‌توان اذعان داشت که شکست اشاره دارد به هرگونه تغییر در

حاکی از سانسور شدن داده خواهد بود و تنها اعداد بالاتر از حد مذکور، در صفحه‌ی نمایش درج خواهد شد. لذا این مقاله نقش به سازی در پایش و کنترل این نوع از داده‌های قابلیت اطمینان که از سمت چپ سانسور می‌شوند، ایفا می‌کند.

ساختر مقاله بین صورت طراحی شده است: در بخش ۲ به بیان مسئله و مدل‌سازی فرایند پرداخته شده است. در بخش ۳ رویکردهای پایش پیشنهادی مطرح شده است. در بخش ۴ مطالعات شبیه‌سازی و ارزیابی عملکرد نمودارهای کنترل تشریح می‌شود. در بخش ۵ به مطالعه‌ی موردی پرداخته‌ایم و نهایتاً در بخش ۶ نتیجه‌گیری مطرح شده است.

۲. مدل‌سازی و توصیف فرایند

یک فرایند دومرحله‌ی را در نظر بگیرید که در آن مشخصه‌ی کیفی ورودی مربوط به مرحله‌ی اول (X)، بر مشخصه‌ی کیفی خروجی مربوط به مرحله‌ی دوم (T) اثر می‌گذارد. به منظور پایش چنین فرایند‌هایی، اثر متغیرهای ورودی بر متغیر خروجی را باید در نظر گرفت و ارتباط میان دو متغیر را مدل کرد. از آنجا که داده‌ها از نوع قابلیت اطمینان هستند، به منظور مدل‌سازی ارتباط متغیرها، به کارگیری مدل‌های رگرسیونی تحلیل بقا ضروری است. ایده‌ی عمومی به کارگیری مدل‌های رگرسیونی تحلیل بقا این است که مقدار متغیر پاسخ را بر اساس مقدار مورد نظر از متغیرهای تأثیرگذار نشان دهنده. همچنین، این مدل‌ها از قابلیت مدل‌سازی توزیع‌های خانواده مکان - مقیاس و لگاریتم - مکان - مقیاس برخوردارند. در این راستا، دسته‌ی این مدل‌ها با عنوان مدل‌های رگرسیونی زمان شکست تسریع شده (AFT)^۵ محبوبیت بالایی دارند که در آنها یک یا چند عنصر از پارامترهای مدل به کمک تابعی از متغیرهای تأثیرگذار بیان می‌شود. در حالت کلی، تابعی با شکل مشخص اما با یک یا چند پارامتر غیرمشخص مورد استفاده قرار می‌گیرد که لازم است پارامترهای این تابع تخمین زده شوند.

اگر از مدل‌های رگرسیونی زمان شکست تسریع شده (AFT) برای بنا نهادن توابع چگالی و بقای متغیر پاسخ استفاده کنیم، پارامترهای مدل مطابق رابطه‌ی ۱ نشان داده خواهد شد:

$$\theta_i = q(\beta, x_i) \quad i = 1, 2, 3, \dots \quad (1)$$

که در آن β بردار پارامترهای رگرسیونی و q تابعی است که توسط آن، تأثیر α این مشاهده از متغیر تأثیرگذار ورودی بر مقدار پارامتر نامین مشاهده از مشخصه‌ی کیفی خروجی لحاظ می‌شود.

علاوه بر این، سانسورشدنگی به دلایل مختلفی چون محدودیت‌های زمانی، طراحی، ریسک و هزینه رخ می‌دهد. سانسورشدنگی از سمت راست زمانی رخ می‌دهد که شکست در طول زمان انجام آزمایش رخ ندهد و لذا نتوان عدد دقیقی برای آن ثبت کرد. در حقیقت رکوردهای روش شده برای قابلیت اطمینان یا طول عمر محصول، کمیته‌ی دو مقدار شکست و حد سانسورشدنگی آن محصول است. از طرفی، سانسورشدنگی از سمت چپ زمانی اتفاق می‌افتد که شکست پیش از حد آستانه برای شروع و بررسی آزمایش رخ بدهد. در این شرایط نیز نتوان از مقدار دقیق شکست اطلاع داشت و تنها می‌توان به این بسته کرد که شکست قبل از عدد تعیین شده برای حد آستانه، مقداری پذیرفته شده است. به عنوان مثال موضوع مطالعه‌ی موردي تحقیق حاضر، بررسی مقاومت رشتة‌های رخ تولید شده در کارخانه‌ی تک تاب ظرفی فعل در صنعت کیسه‌بافی است که داده‌های متناظر با مقاومت در حضور سازوکار

رگرسیون و دو نمودار میانگین متحرک موزون نمایی مبتنی بر مقدار ارزش انتظاری پیشنهاد کردند. اسدزاده و همکاران^[۶] نمودارهای کنترل جمع تجمعی و میانگین متحرک موزون نمایی را با استفاده از مدل رگرسیونی مخاطره متناسب کاکس برای مشاهدات خودهمبسته در حضور عدم حضور سانسورشدنگی مورد بررسی قرار دادند. گودرزی و همکاران^[۷] برای پایش داده‌های قابلیت اطمینان در فرایندهای سه‌مرحله‌ی در حضور سانسورشدنگی از راست، که از مدل رگرسیونی زمان تسریع یافته استفاده می‌کند، نمودارهای کنترل میانگین متحرک موزون نمایی و جمع تجمعی ارائه کرده‌اند. اسد ایوبی و نیاکی^[۸] یک مدل زمان شکست تسریع یافته مبتنی بر نمودار تعديل ریسک شده برای نظارت پیوسته بر خروجی یک جراحی بر اساس یک آزمون نسبت درست‌نمایی به دست آمده از مدل نقطه‌ی تغییر ارائه داده‌اند. همچنین اثبات کرده‌اند برخلاف مدل‌های موجود، خروجی پیوسته نه تنها به شرایط بیمار بلکه به متغیرهای تأثیرگذار دیگر چون جراحان نیز واپسی است. اسدزاده و کیادلیری^[۹] یک نمودار کنترل جمع تجمعی و دو نمودار کنترل میانگین متحرک موزون نمایی به منظور نظارت بر داده‌های قابلیت اطمینان سانسور شده‌ی نوع ۲ در فرایندهای دومرحله‌ی ارائه کرده‌اند. زو و جسک^[۱۰] یک نمودار میانگین متحرک موزون نمایی وزنی یک طرفه را برای داده‌ی ویول تحت سانسورشدنگی نوع ۱ برای کشف تغییرات طول عمرهای میانگین محصولات تحت سازوکارهای شکست معین توسعه دادند. رازا و همکاران^[۱۱] دو نمودار کنترل مبتنی بر ارزش انتظاری شرطی و نیمه‌هه شرطی را به منظور اثربخشی پایش داده سانسور شده‌ی نوع ۱ با توزیع ریالی پیشنهاد دادند. گریچ^[۱۲] نمودار کنترل جدیدی را به منظور پایش پیوسته و تعديل ریسک شده‌ی داده‌های بقا ارائه کرد که در فرایندهای چندمرحله‌ی تولیدی و خدماتی کاربرد دارد و بر اساس خوشبندی عمل می‌کند. کیفت و همکاران^[۱۳] نشان دادند که نمودارهای کنترل جمع تجمعی تعديل ریسک شده مبتنی بر آماره‌ی لگاریتم نسبت درست‌نمایی که از امتیازات ریسک با یک مدل مناسب استفاده نمی‌کنند ممکن است باعث بدتر شدن عملکرد نمودارها شود؛ دستاوردهای فرایندهای چندمرحله‌ی نیز صادق است. در نهایت، اسدزاده و بقایی^[۱۴] پایش داده‌های قابلیت اطمینان را در حضور داده‌های پرت در فرایندهای چندمرحله‌ی بی مدنظر قرار داده‌اند. بدین منظور رویکردهای رگرسیون استوار با مدل‌های رگرسیون زمان شکست تسریع شده برای یافتن ارتباط دقیق بین متغیرها به هنگام حضور داده‌های پرت تلقیق شده‌اند.

بررسی مرور ادبیات نشان می‌دهد که تحقیقات و پژوهش‌های بسیاری در زمینه‌ی پایش داده‌های قابلیت اطمینان در حضور سانسورشدنگی صورت پذیرفته، اما اغلب بحث سانسورشدنگی سمت راست مورد توجه قرار گرفته است. در نوشتار حاضر به بررسی داده‌های قابلیت اطمینان در حضور سانسورشدنگی سمت چپ و ارائه رویکرده مناسب برای پایش و کنترل آنها در راستای شناسایی هرچه سریع تر تغییرات خواهیم پرداخت. مشخصه‌ی کیفی مورد بحث در پژوهش پیش‌رو، استحکام و استقامت نخ‌های تولیدی در کارخانه تک تاب ظرفی، برای تولید کیسه‌های گونی است. بدین ترتیب که رشتة‌های نخ پس از طی مراحلی به هم پیوسته که در آن تغییر در متغیرهای در مرحله بر مشخصه‌ی کیفی مرحله‌ی بعد مؤثر است، توسط دستگاه استحکام‌سنج مورآ آزمایش قرار می‌گیرد. از هر دوک نخ چند نمونه برای بررسی وزن و استحکام آنها انتخاب می‌شود. در دستگاه استحکام‌سنج به نمونه‌ی انتخاب شده به تدریج تا لحظه‌ی از هم گسستگی (شکست) نیرو وارد می‌شود. اما این دستگاه اعداد پایین‌تر از حد مشخصی را ثبت نمی‌کند (سانسورشدنگی سمت چپ). به عنوان مثال، اگر در لحظه‌ی شکست نیروی وارد شده پایین‌تر از ۱۰۰ باشد، نشان‌گر رنگ قرمز

از چپ توسعه داده می‌شود. بعد از تشکیل مدل رگرسیونی زمان شکست تسریع شده برای توجیه ناهمگونی موجود در مقادیر متغیر کیفی خروجی، نمودارهای کنترل برای تشخیص شیفت‌های کاهشی در میانگین تشکیل می‌شود. از آن جا که کنترل مشخصه‌ی کیفی با ماهیت قابلیت اطمینان تحت بررسی است، صدک‌های کوچک به طور خاص از اهمیت بالا برخوردار است. این در حالی است که می‌توان به راحتی نمودار کنترل دوطرفه - شامل استفاده از دو حد کنترل همزمان - را به منظور شناسایی و کشف شیفت‌های افزایشی و کاهشی به کار گرفت.

اما روش پایش مؤثر در فرایندهای چند مرحله‌ی نیاز به حذف اثر خاصیت آثاری دارد. در اینجا، با هدف تعديل تأثیر متغیر کیفی ورودی بر متغیر کیفی خروجی، تبدیل توزیع ویول به توزیع کوچک‌ترین مقدار حدی استاندارد در نظر گرفته شده است. در این راستا، به سادگی با گرفتن لگاریتم طبیعی از داده‌ها با توزیع ویول، توزیع کوچک‌ترین مقدار حدی به دست می‌آید.^[۲] لذا $\text{Log}(t)$ دارای توزیع کوچک‌ترین مقدار حدی با پارامترهای مکان و مقیاس است که به ترتیب به صورت $u = \text{Log}(\eta)$ و $b = \kappa$ تعریف می‌شود ($\text{Log}(t) \sim \text{SEV}(u, b)$). بنابراین، $z_i = \text{Log}(t_i) - u$ پیروی می‌کنند:

$$z_i = \frac{\text{Log}(t_i) - u}{b} \quad (5)$$

که تابع چگالی احتمال (z) f_{SEV} و تابع توزیع تجمعی ($FSSEV(z)$) کوچک‌ترین مقدار حدی استاندارد عبارت است از:

$$\begin{aligned} f_{\text{SEV}}(z) &= \exp[z - \exp(z)] \\ FSSEV(z) &= 1 - \exp[-\exp(z)] \end{aligned} \quad (6)$$

پس از تعديل اثر متغیر کیفی ورودی بر متغیر کیفی خروجی، تمرکز اصلی بر تشکیل نمودارهای کنترل پیشنهادی است.

رویکرد پایش پیشنهادی اول بر بینا نهادن و به کارگیری نمودار کنترل جمع تجمعی (CUSUM)^۷ استوار است. همان‌طور که پیش تر اشاره شد، با عنایت به کشف شیفت‌های کاهشی در میانگین متغیر پاسخ نمودار CUSUM یک طرفه مورد توجه قرار می‌گیرد. آماره‌ی CUSUM عبارت است از:

$$\begin{cases} Q_i = \min(\circ, Q_{i-1} - w_i) \\ Q_0 = \circ \end{cases} \quad (7)$$

که در آن w_i امتیاز CUSUM بوده و از رابطه‌ی ۸ قابل محاسبه است:

$$w_i = \log\left(\frac{L(z_i | \theta_{i-1})}{L(z_i | \theta_{i-1})}\right) \quad (8)$$

در این رابطه L تابع درست‌نمایی است که با در نظر گرفتن داده‌های سانسور شده از چپ داریم:

$$L(z_i, \delta_i) = [f_{\text{SEV}}(z_i)]^{\delta_i} [FSSEV(z_i)]^{1-\delta_i} \quad (9)$$

با جایگذاری رابطه‌ی ۸ در ۹ خواهیم داشت:

$$Wi = \text{Log}\left(\frac{\exp\left[\left(\frac{\text{Log}(t_i) - u_+}{b} - \exp\left(\frac{\text{Log}(t_i) - u_+}{b}\right)\right]\right]^{\delta_i} \left[1 - \exp\left(-\exp\left(\frac{\text{Log}(c) - u_+}{b}\right)\right)\right]^{1-\delta_i}}{\exp\left[\left(\frac{\text{Log}(t_i) - u_-}{b} - \exp\left(\frac{\text{Log}(t_i) - u_-}{b}\right)\right]\right]^{\delta_i} \left[1 - \exp\left(-\exp\left(\frac{\text{Log}(c) - u_-}{b}\right)\right)\right]^{1-\delta_i}}\right) \quad (10)$$

سانسور شدگی از سمت چپ مورد بررسی قرار می‌گیرند. بدین صورت که رشتہ‌های نخ تولید شده در دپارتمان کنترل کیفیت کارخانه توسط دستگاه استحکام‌سنج مورد آزمایش قرار می‌گیرد. مقدار مقاومت اگر از سطح سانسور شدگی بزرگ‌تر باشد توسط دستگاه گزارش می‌شود، در غیر این صورت اصطلاحاً داده سانسور خواهد شد. لذا داریم:

$$\delta_i = \begin{cases} 0 & \text{if } t_i < c \\ 1 & \text{if } t_i > c \end{cases} \quad (2)$$

که در آن c حد سانسور شدگی از چپ است. با توجه به رابطه‌ی ۱، در این فرایند وقوع دور خداد ممکن است: نخست این که داده قابل اندازه‌گیری مشاهده و توسط دستگاه گزارش شود ($\delta_i = 1$) و دوم این که داده‌ها سانسور شوند ($\delta_i = 0$). واضح است که در هر بار نمونه‌گیری، فقط یک حالت از دو حالت گفته شده اتفاق می‌افتد و به صورت پیشنهادی متغیر پاسخ و حد سانسور شدگی بیان می‌شود. همچنین در این شرایط، توزیع‌های مختلفی ممکن است برای مدل سازی مفید واقع شود؛ در این میان، توزیع ویول^۶ از محبوب‌ترین و پرکاربردترین توزیع‌های است که در شرایط مختلف عملکرد خوبی از خود نشان داده است. لذا با توجه به این که متغیر خروجی در مطالعه‌ی موردی از یک توزیع ویول پیروی می‌کند، تابع چگالی احتمال و تابع بقای آن عبارت خواهد بود از:

$$\begin{aligned} f(t) &= \frac{\kappa}{\eta} \left(\frac{t}{\eta}\right)^{\kappa-1} \exp\left(-\left(\frac{t}{\eta}\right)^\kappa\right) \\ S(t) &= \exp\left(-\left(\frac{t}{\eta}\right)^\kappa\right) \end{aligned} \quad (3)$$

که در آن $\kappa > K$ پارامتر شکل و η پارامتر مقیاس خواهد بود. با وابسته کردن پارامتر مقیاس به تنها متغیر تأثیرگذار موجود در فرایند حاضر، تابع بقای عبارت است از:

$$S(t_i | x_i) = \exp\left(-\left(\frac{t_i}{\exp(\beta_0 + \beta_1 x_i)}\right)^\kappa\right) \quad (4)$$

که در آن β_0 و β_1 پارامترهای مدل رگرسیونی‌اند. لذا پارامترهای توزیع ویول را می‌توان به صورت $S(t_i | x_i) = (\kappa, \eta \exp(\beta_1 x_i))$ نمایش داد. حال $(\theta_0, \theta_1) = (\kappa, \eta \exp(\beta_1 x_i))$ بردار پارامترهای تحت کنترل و $(v, \eta \exp(\beta_1 x_i)) = (\kappa, \eta)$ بردار پارامترها در حالت خارج از کنترل است که در آن v ضریبی است که مقدار اسی می‌تواند کنترل پارامتر مقیاس را شیفت می‌دهد. در نهایت با تمرکز بر تنها مشخصه‌ی کیفی تأثیرگذار ورودی در مطالعه‌ی موردی، توزیع نرمال که از پرکاربردترین و مرسم‌ترین توزیع‌های است بر روی داده‌ها بازش شد و لذا در مدل سازی این توزیع به کار می‌رود به طوری که $\sigma_x^2 \sim N(\mu_x, X)$. در کل می‌توان اذعان داشت که هدف پایش داده‌های قابلیت اطمینان (مقاومت رشتہ‌های نخ) سانسور شده از چپ در یک فرایند دومرحله‌ی است به گونه‌ای که این مقادیر از مقادیر مرتبط با مشخصه‌ی کیفی مرحله‌ی اول (میزان یا نسبت ترکیب مواد اولیه رشتہ‌های نخ) متأثرند و لذا خاصیت آتشواری نیز برقرار است.

۳. نمودارهای کنترل تعديل رگرسیون شده پیشنهادی

در این بخش، رویکردهای پایش فرایند دومرحله‌ی مذکور در حضور سانسور شدگی

بررسی دقیق نتایج حاکی از این است که فارغ از درصد سانسورشدنگی، نمودار کنترل جمع تجمعی عملکرد بهتری نسبت به نمودار کنترل میانگین متحرک موزون نمایی مبتنی بر مقادیر ارزش انتظاری دارد، زیرا به ازای یک شیفت مشخص، طول دنباله‌ی مقادیر متوجه کوچکتر است. همچنین نمودار کنترل میانگین متحرک موزون نمایی با $0.5 = \lambda$ قدرت بالاتری در کشف شیفت‌های کوچک (تا 10% شیفت کاهشی) در مقایسه با همین نمودار کنترل با مقادیر دیگر پارامتر هموارسازی دارد.

بالعکس، هرچه میزان شیفت بزرگ‌تر می‌شود، نمودار کنترل میانگین متحرک موزون نمایی با $0.2 = \lambda$ دارای مقادیر ARL کوچک‌تر و لذا قدرت کشف بالاتر می‌شود. در ارتباط با میزان سانسورشدنگی می‌توان اذعان داشت که سانسورشدنگی بر عملکرد رویکردهای پایش تأثیر منفی دارد. بدین مفهوم که در هر دو روش پیشنهادی با افزایش درصد سانسورشدنگی و به ازای یک شیفت خاص مقادیر متوجه کوچک‌تر طول دنباله افزایش می‌باشد. لذا در صورت امکان بهتر است شرایط فرایند به گونه‌ی تنظیم شود که درصد زیادی از داده‌های فرایند در معرض سانسورشدنگی قرار نگیرند؛ در واقع با کاهش سانسورشدنگی، عملکرد نمودارهای کنترل بهتر می‌شود.

از طرفی در بخش قبل بیان شد که علت تبدیل توزیع ویول به توزیع کوچک‌ترین مقدار حدی استاندارد، حذف یا کاهش اثر متغیر کیفی مرحله‌ی اول از متغیر پاسخ است. لذا رویکرد پایش مبتنی بر مدل رگرسیونی باید به منظور تمايز میان کیفیت خاص و کیفیت کل تعديل شود. در این راستا، کشف شیفت‌های ایجاد شده در مشخصه‌ی کیفی مرحله‌ی قبیل مد نظر نیست زیرا این شیفت‌ها مر بوط به مرحله‌ی جاری تحت بررسی نیستند. بدین منظور، عملکرد نمودارهای کنترل پیشنهادی تحت شیفت‌های افزایشی δ در میانگین x و درصد سانسورشدنگی 20% مورد ارزیابی قرار گرفته است. نتایج در جدول ۴ آرائه شده است.

مطابق انتظار، شیفت در مشخصه‌ی کیفی مرحله‌ی اول تأثیر اندازکی بر رویکردهای پایش پیشنهادی دارد؛ در حقیقت مقادیر متوجه کوچک‌ترین مقدار حدی از لحاظ آماری تقریباً ثابت مانده‌اند. این مهم ناشی از درنظر گرفتن اثر متغیر مرحله‌ی قبیل بر متغیر خروجی توسط مدل سازی و تبدیل توزیع ویول به توزیع کوچک‌ترین مقدار حدی به منظور حذف اثر متغیر مرحله‌ی قبیل است. به علاوه شیفت‌های کاهشی در x نیز مورد ارزیابی قرار گرفت و نتایج آن مشابه شیفت‌های افزایشی بود که به دلیل تشابه گزارش نشده است.

۵. مطالعه‌ی موردي

مطالعه‌ی موردي مقاله در کارخانه‌ی تکتاب ظریف، فعال در زمینه‌ی آماده‌سازی و ریسنندگی الیاف در صنعت نساجی (کیسه‌بافی) است. ظرفیت تولیدی این کارخانه معادل $5/3$ تن در روز برای تولید انواع کیسه‌های گونی متفاوت اعم از کیسه‌های آرد، شکر، گچ، سیمان و غیره است.

فرایند کیسه‌بافی به طور کلی از دو زیرفرایند تشکیل شده است. مرحله‌ی آغازین عبارت است از آماده‌سازی رشته‌های نخ به عرض $2/7$ میلی‌متر توسط دستگاه اکسترودر و مرحله‌ی دوم بخش بافنده‌ی کیسه است که در عرض‌ها و وزن‌های متفاوت، کیسه مورد نظر را تولید می‌کند. در این فرایند تولیدی، ابتدا دستگاه اکسترودر مواد اولیه را با نسبت و سرعت مشخص ترکیب می‌کند؛ لذا متغیر x در این مرحله درصد (نمیت) وزنی مواد تشکیل‌دهنده‌ی نخ است. سپس طی 6 مرحله با دماهای متفاوت این ترکیب مواد ذوب می‌شوند. در این بخش مواد اولیه طی یک ماردون به یکدیگر متصل‌اند که این ماردون مارپیچ مواد را رو به جلو حرکت می‌دهد و بعد، مواد ذوب شده در حضور یک فیلتر تصفیه می‌شوند. پس از تصفیه شدن، مواد

به محض آن که آماره به روز شده نمودار CUSUM، از یک مقدار هدف خاص (LCL) کمتر شود، سیگنال می‌دهد. به عبارت دیگر، حد کنترل پایین نمودار CUSUM است و چنان انتخاب می‌شود که به میانگین طول دنباله (ARL) تحت کنترل مورد نظر برسیم. در ادامه، تمرکز اساسی بر توسعه و بنا نهادن نمودارهای کنترل میانگین متحرک موزون نمایی (EWMA)^۸ معطوف می‌شود. آماره‌ی EWMA سنتی که روی مقادیر مشاهده شده تعریف می‌شود عبارت است از:

$$EWMA_i = \lambda z_i + (1 - \lambda)EWMA_{i-1} \quad (11)$$

که در آن، λ پارامتر هموارسازی با مقدار ثابتی بین $0 < \lambda < 1$ است. مقدار اولیه ($EWMA_0$) که در زمان نمونه‌ی اول از آن استفاده می‌شود، برابر است با میانگین آماره‌ی که مورد پایش قرار می‌گیرد. اما استفاده از متغیر t (حاصل از مقدار t) در آماره‌ی EWMA منطقی به نظر نمی‌رسد، زیرا مقدار واقعی متغیر پاسخ همیشه به طور دقیق ثبت نمی‌شود. در نتیجه ایده اساسی در این مقاله جایگذاری مشاهدات سانسور شده با مقادیر ارزش انتظاری شرطی (CEV)^۹ آنهاست. وزن‌های مقادیر ارزش انتظاری شرطی متناسب با توزیع پایه‌ی متغیر پاسخ به دست می‌آید و لذا از توزیع به توزیع دیگر متفاوت‌اند. در این فرایند، مقادیر ارزش انتظاری شرطی به وسیله‌ی رابطه‌ی ۱۲ به دست می‌آید:

$$CEV = \frac{E(t < c)}{P(t < c)} = \frac{\int_0^c t f(t) dt}{\int_0^c f(t) dt} = \frac{\int_0^c t f(t) dt}{F(c)} = \frac{\int_0^c t \frac{\kappa}{\eta} \left(\frac{t}{\eta}\right)^{\kappa-1} e^{-\left(\frac{t}{\eta}\right)^\kappa} dt}{1 - e^{-\left(\frac{c}{\eta}\right)^\kappa}} \quad (12)$$

لذا در مورد داده‌های سانسور شده از چب خواهیم داشت:

$$z = \frac{\log(CEV) - u}{b} \quad (13)$$

این نمودار کنترل نیز زمانی سیگنال می‌دهد که آماره‌ی تعدیل شده‌ی آن کمتر از حد کنترل پایین (LCL_2) انتخاب شده برای آن باشد. شایان ذکر است به منظور افزایش حساسیت نمودار کنترل برای کشف شیفت‌های موجود می‌توان از نمودار کنترل EWMA با حد بازدارنده^{۱۰} نیز استفاده کرد.

۴. ارزیابی عملکرد

در این بخش به شیبیه‌سازی و بررسی عملکرد نمودارهای کنترل پیشنهادی جمع تجمعی و میانگین متحرک موزون نمایی می‌پردازیم. در طول شیبیه‌سازی، حد کنترل پایین نمودارهای کنترل پیشنهادی به گونه‌ی تعیین شده است که به متوسط طول دنباله (ARL) تحت کنترل تقریباً 200 برسیم. به منظور کیمینه‌سازی مقدار خطاء، شیبیه‌سازی $10/000$ بار تکرار شده و مقادیر خطای استاندارد (SE) در کنار مقادیر ARL ثبت شده است. همچنین شیفت‌های کاهشی (۱۷) در میانگین با اندازه‌های $5/5$ ، $5/2$ ، $2/5$ و $3/5$ درصد در نظر گرفته شده است. در جداول ۱، ۲ و ۳ عملکرد نمودارهای جمع تجمعی و میانگین متحرک موزون نمایی پیشنهادی، به ازای سانسورشدنگی‌های کم، متوسط و زیاد 20% ، 50% و 80% درصد نشان داده شده است.

جدول ۱. مقادیر متوسط طول دنباله و خطای استاندارد برای نمودارهای کنترل پیشنهادی تحت سانسورشدنگی٪۲۰.

ن	جمع تجمعی	میانگین متحرک			میانگین متحرک			میانگین متحرک		
		مورون نمایی	مورون نمایی	مورون نمایی	خطا	متوجه طول دنباله	خطا	خطا	متوجه طول دنباله	خطا
		$\lambda = 0/05$	$\lambda = 0/1$	$\lambda = 0/2$						
۱	۲۰۰,۱۴	۱,۶	۱۹۹,۷۰	۱,۶	۲۰۰,۲۵	۱,۷	۲۰۰,۲۳	۱,۸		
۰,۹۷۵	۱۴۵,۸۳	۱,۱	۱۵۸,۵۳	۱,۲	۱۶۱,۴۵	۱,۴	۱۶۹,۹۱	۱,۶		
۰,۹۵	۱۱۲,۳۴	۰,۸	۱۲۹,۰۲	۰,۹	۱۳۲,۷۳	۱,۱	۱۴۰,۹۲	۱,۳		
۰,۹	۷۲,۶۳	۰,۴	۸۹,۰۶	۰,۵	۹۱,۰۷	۰,۷	۹۹,۷۴	۰,۹		
۰,۸	۳۵,۹	۰,۲	۵۱,۳۱	۰,۲	۴۷,۲۷	۰,۳	۴۹,۳۹	۰,۴		
۰,۷	۲۱,۶۸	۰,۱	۳۱,۰۵	۰,۱	۲۸,۸۱	۰,۱	۲۹,۶۰	۰,۲		

جدول ۲. مقادیر متوسط طول دنباله و خطای استاندارد برای نمودارهای کنترل پیشنهادی تحت سانسورشدنگی٪۵۰.

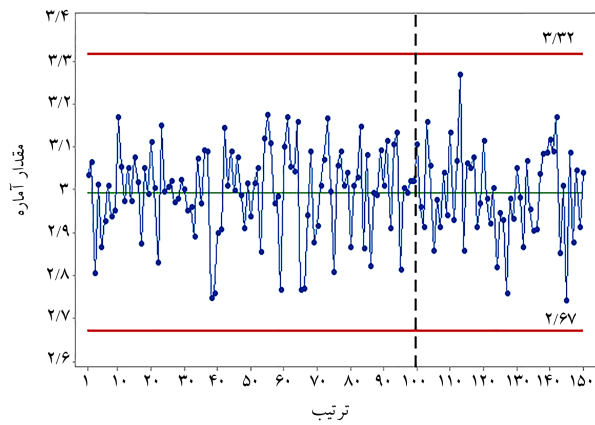
ن	جمع تجمعی	میانگین متحرک			میانگین متحرک			میانگین متحرک		
		مورون نمایی	مورون نمایی	مورون نمایی	خطا	متوجه طول دنباله	خطا	خطا	متوجه طول دنباله	خطا
		$\lambda = 0/05$	$\lambda = 0/1$	$\lambda = 0/2$						
۱	۲۰۰,۸۲	۱,۶	۲۰۲,۵۵	۱,۵	۱۹۹,۸۵	۱,۷	۲۰۱,۵۰	۱,۸		
۰,۹۷۵	۱۴۷,۵۲	۱,۱	۱۶۰,۲۸	۱,۱	۱۶۳,۳۱	۱,۳	۱۷۰,۹۷	۱,۵		
۰,۹۵	۱۱۴,۸۷	۰,۷	۱۳۱,۸	۰,۸	۱۳۵,۵۶	۱,۱	۱۴۳,۱۹	۱,۲		
۰,۹	۷۴,۹۷	۰,۴	۹۲,۳۰	۰,۴	۹۴,۲۰	۰,۶	۱۰۰,۸۰	۰,۸		
۰,۸	۳۷,۱۱	۰,۲	۵۵,۰۸	۰,۲	۴۹,۲۶	۰,۲	۵۱,۵۱	۰,۳		
۰,۷	۲۲,۶۳	۰,۱۱	۳۶,۳۱	۰,۱	۳۳,۳۷	۰,۱	۳۱,۵۴	۰,۱		

جدول ۳. مقادیر متوسط طول دنباله و خطای استاندارد برای نمودارهای کنترل پیشنهادی تحت سانسورشدنگی٪۸۰.

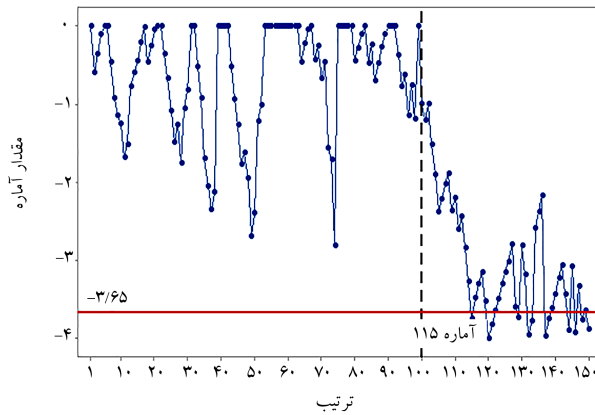
ن	جمع تجمعی	میانگین متحرک			میانگین متحرک			میانگین متحرک		
		مورون نمایی	مورون نمایی	مورون نمایی	خطا	متوجه طول دنباله	خطا	خطا	متوجه طول دنباله	خطا
		$\lambda = 0/05$	$\lambda = 0/1$	$\lambda = 0/2$						
۱	۲۰۰,۵۴	۱,۵	۲۰۱,۴۰	۱,۳	۲۰۰,۷۹	۱,۶	۱۹۹,۷۱	۲,۰		
۰,۹۷۵	۱۵۲,۴۳	۱,۱	۱۶۵,۲۸	۱,۱	۱۶۸,۸۱	۱,۳	۱۷۳,۸۳	۱,۵		
۰,۹۵	۱۱۹,۰۹	۰,۸	۱۳۷,۶۵	۰,۷	۱۳۹,۴۶	۱,۰	۱۴۵,۸۹	۱,۲		
۰,۹	۷۹,۹۶	۰,۵	۱۰۱,۹۷	۰,۴	۱۰۴,۷۵	۰,۶	۱۰۶,۰۲	۰,۸		
۰,۸	۴۴,۵۰	۰,۲	۵۹,۲۳	۰,۲	۵۶,۶۴	۰,۲	۵۴,۸۴	۰,۴		
۰,۷	۲۹,۱۸	۰,۱	۴۴,۹۲	۰,۱	۴۰,۶۱	۰,۱	۳۷,۶۱	۰,۲		

جدول ۴. مقادیر متوسط طول دنباله و خطای استاندارد برای نمودارهای کنترل پیشنهادی تحت شیفت‌های افزایشی ۵ در میانگین x.

ن	جمع تجمعی	میانگین متحرک			میانگین متحرک			میانگین متحرک		
		مورون نمایی	مورون نمایی	مورون نمایی	خطا	متوجه طول دنباله	خطا	خطا	متوجه طول دنباله	خطا
		$\lambda = 0/05$	$\lambda = 0/1$	$\lambda = 0/2$						
۰	۲۰۰,۱۴	۱,۶	۱۹۹,۷۰	۱,۶	۲۰۰,۲۵	۱,۷	۲۰۰,۲۳	۱,۸		
۱	۱۹۹,۶۵	۱,۵	۱۹۹,۷۸	۱,۶	۲۰۱,۰۴	۱,۷	۱۹۹,۶۷	۱,۷		
۲	۲۰۰,۴۵	۱,۶	۲۰۰,۵۱	۱,۵	۲۰۱,۱۵	۱,۶	۲۰۱,۳۲	۱,۷		
۳	۱۹۹,۶۷	۱,۷	۱۹۸,۹۸	۱,۶	۱۹۹,۶۷	۱,۸	۲۰۰,۴۳	۱,۷		
۴	۱۹۸,۵۶	۱,۶	۱۹۷,۹۴	۱,۷	۱۹۹,۷۴	۱,۷	۱۹۸,۸۳	۱,۷		



شکل ۱. نمودار کنترل شوهارت برای مشاهدات انفرادی به منظور پایش مشخصه‌ی کیفی مرحله‌ی اول.



شکل ۲. عملکرد نمودار کنترل جمع تجمعی پیشنهادی در مطالعه‌ی موردی کارخانه تکتاب طریف.

نخهای تولیدی را می‌توان به عملکرد بد و نوسانات موجود در دستگاه حرارت‌دهنده رشته‌های نخ در مرحله‌ی آخر نسبت داد؛ که تیم تعمیرات و نگهداری به رفع این مشکل پرداختند.

۶. نتیجه‌گیری

در این مقاله یک نمودار کنترل جمع تجمعی و یک نمودار کنترل میانگین متغیر موزون نمایی به منظور پایش داده‌های ویبول سانسور شده از چپ در یک فرایند کنترل دوم مرحله‌ی ارائه شد. به منظور لحاظ کردن خاصیت آبشاری در این فرایند از دسته‌ی از مدل‌های رگرسیونی تحلیل باقای عنوان مدل‌های رگرسیونی زمان شکست تسریع یافته استفاده شد و تبدیل توزیع داده‌های مشخصه‌ی کیفی خروجی به توزیع کوچک‌ترین مقادیر حدی استاندارد برای حذف اثر متغیر مرحله‌ی اول قبل مورد استفاده قرار گرفت. متعاقباً تشکیل تابع درست‌نمایی و محاسبه‌ی مقدار ارزش انتظاری برای داده‌های دارای سانسور شده از چپ به منظور ارائه‌ی رویکردهای پایش پیشنهادی در نظر گرفته شد. سپس شبیه‌سازی‌های گسترده تحت سانسور شده‌ی های کم، متوسط و زیاد به منظور ارزیابی عملکرد رویکردهای پایش پیشنهادی صورت گرفت. نتایج بیان‌گر این مهم بود که عملکرد نمودار کنترل جمع تجمعی بسیار بهتر از عملکرد نمودار کنترل میانگین متغیر موزون نمایی است. از طرفی پارامتر هموارسازی کوچک در نمودار

مذاب توسط یک قالب تبدیل به یک صفحه فیلم می‌شوند. در این بخش دمای فیلم تولید شده بلافصله پس از خروج از قالب، در حوض آب کاوش یافته که به ثبات در شکل فیلم می‌انجامد. بعد از سرد شدن تقریباً، فیلم توسط دو غلتک مورد کشش قرار گرفته تا به ضخامت مطلوبی برسد. در این مرحله فیلم موردنظر توسط حدود ۲۵۰ تیغ با عرض ۶ میلی‌متر بش می‌خورد. مجدداً رشته‌های نخ در یک دستگاه حرارت می‌بینند و عرض رشته‌ها ۶ میلی‌متری، تحت کشش ۶ غلتک به ۷/۲ میلی‌متر می‌رسد. در پایان این رشته‌ها را به دور دوک نخ می‌پیچند و آنها را آماده‌ی فرایند کنترل کیفیت و متعاقباً انتقال برای بافت کیسه می‌کنند.

در این شرکت در هر شیفت تولیدی ۱۵ دوک نخ به طور تصادفی انتخاب می‌شود و در بخش کنترل کیفیت مورد آزمایش قرار می‌گیرد. در بخش کیفیت این کارخانه، با استخراج ۲۵ سانتی‌متر از نمونه‌های نخ تولید شده مقاومت کششی را مورد آزمایش قرار می‌دهند. در این بخش با اعمال نیرو از یک طرف، رشته نخ را تحت نیروی کششی قرار می‌دهند و در لحظه‌ی پارگی یا شکست مقدار درج شده بر دستگاه را ثبت می‌کنند. عملکرد این دستگاه به گونه‌یی است که در ابتدا باید حد مطلوبی را به عنوان معیاری برای سنجش استقامت برای دستگاه تعریف کنیم. بدین ترتیب دستگاه با سنجش استقامت نمونه‌ها، تنها قادر به نمایش مقدار دقیق استقامت نمونه‌های خواهد بود که عدد آن بیشتر از حد مطلوب باشد، در غیر این صورت نشان‌گر به رنگ قرمز عدم دستیابی به کمترین میزان استقامت (مقاومت کششی) مورد نیاز را نشان می‌دهد؛ در این حالت اصطلاحاً داده از چپ سانسور می‌شود. داده‌های مورد مطالعه، از جنس مقاومت کششی با واحد سانتی نیوتون (معادل با ۱۰^{۱۹} گرم نیرو) هستند. تعداد داده‌های جمع‌آوری شده مجموعاً ۱۵۰ روح داده است که ۱۰۰ داده در فاز دوم برای بررسی عملکرد نمودار و کشف سرعی شیفت در پارامترهای مدل مورد استفاده قرار می‌گیرد. بعد از اطمینان از پایداری فرایند و تحت کنترل بودن داده‌های فاز اول، ۵۰ داده‌ی فاز دوم روی نمودار کنترل ترسیم و مورد تحلیل قرار می‌گیرد. تخمین پارامترها با استفاده از روش درست‌نمایی بیشینه (MLE) و به کمکتابع درست‌نمایی ارائه شده در رابطه‌ی ۹ برای داده‌های سانسور شده از چپ انجام شده است و مقادیر آنها $\beta_1 = 0/112$, $\beta_0 = 0/618$ است. به علاوه درصد (نسبت) وزنی مواد تشکیل‌دهنده‌ی نخ دارای توزیع نرمال با میانگین ۳ و انحراف استاندارد تقریبی ۱/۱ است. از نمودار کنترل شوهارت برای مشاهدات افرادی به منظور پایش این مشخصه‌ی کیفی استفاده می‌شود (شکل ۱). شایان ذکر است که ۷۰ درصد داده‌های مربوط به استحکام کششی تحت سانسور شده‌گی از چپ قرار گرفته است. با توجه به برتری نمودار کنترل جمع تجمعی پیشنهادی تهها عملکرد این رویکرد مورد بررسی قرار گرفته است (شکل ۲). حد کنترل پایین نمودار کنترل جمع تجمعی همانند قابل به گونه‌یی تعیین شده است که به متوسط طول دنباله (ARL) تحت کنترل تقریباً ۲۰۰ بررسیم. افزون بر این، بررسی استقلال مشاهدات و پیروی از توزیع‌های ذکر شده توسط نرم‌افزار مینی تب صورت گرفته و مورد تأیید است. بدینهی است مشخصه‌ی کیفی مرحله‌ی اول در شرایط تحت کنترل به سر می‌برد. این در حالی است که نمودار کنترل جمع تجمعی برای مرحله‌ی دوم پس از ۱۵ نمونه هشدار می‌دهد. بدین ترتیب فرایند باید در این مرحله متوقف شود و ریشه‌ی انحراف و اقدام اصلاحی شناسایی شود. پر واضح است که با توجه به کاربرد آماره‌ی تعدیل رگرسیون شده، ریشه‌ی انحراف مرتبط با عملکرد نامناسب مرحله‌ی جاری است و متأثر از مرحله‌ی قبل فرایند نیست. با بررسی های صورت گرفته و تشکیل جلسات مختلف، مهمترین علت رخداد انحراف با دلیل و کاوش مقاومت کششی

خروجی با تمام متغیرهای تأثیرگذار مراحل قبل به کمک مدل‌های رگرسیونی تحلیل بقا صورت گیرد و سپس متغیر خروجی تعديل رگرسیون شده به طور هدفمند و اثربخش پایش شود. درنهایت به عنوان پیشنهادات برای مطالعات و تحقیقات آتی می‌توان به مدل‌سازی و پایش داده‌های قابلیت اطمینان سانسور شده از چپ در حضور متغیرهای تأثیرگذار غیرقابل مشاهده پرداخت که مستلزم به کارگیری مدل‌های شکستنگی^{۱۱} است. همچنین توسعه‌ی رویکردهای پایش داده‌های سانسور شده از چپ مبتنی بر باقی‌مانده‌های مارتینگل^{۱۲} از دیگر حوزه‌های قابل توجه برای تحقیقات آتی است.

کنترل میانگین متحرک موزون نمایی، به توان بالاتری در کشف شیفت‌های کوچک در این نمودار کنترل منجر می‌شود. شایان ذکر است افزایش نیخ سانسورشدنگی توانایی کشف نمودارهای کنترل را کاهش می‌دهد. به منظور بهبود در عملکرد توصیه می‌شود تا حد امکان از سانسورشدنگی در فرایندها جلوگیری شود. درنهایت مطالعه‌ی موردنی در صنعت نساجی با مشخصه‌ی کیفی مقاومت کششی صورت پذیرفت و عملکرد نمودار کنترل جمع تجمعی پیشنهادی به منظور پایش داده‌های سانسور شده از چپ و کشف شرایط خارج از کنترل شان داده شد. لازم به ذکر است که در شرایط مواجهه با فرایندهای چندمرحله‌ی، باید مدل‌سازی رابطه‌ی متغیر کیفی

پابندی

1. cascade property
2. censoring
3. location-scale
4. log-location-scale
5. accelerated failure time regression models
6. weibull
7. cumulative sum
8. exponentially weighted moving average
9. conditional expected values
10. reflecting barriers
11. frailty models
12. Martingale Residuals

منابع (References)

1. Asadzadeh, Sh., Aghaie, A. and Niaki, S.T.A. "AFT regression-adjusted monitoring of reliability data in cascade processes", *Quality and Quantity*, **47**(6), pp. 3349-3362 (2015).
2. Niaki, S.T.A., Soleimani, P. and Eghbali, M. "Performance evaluation of simple linear profile monitoring methods in two-stage processes", *Journal of Quality Engineering and Management*, **1**(1), pp. 1-13 (2012).
3. Lawless, J.F., Statistical Models and Methods for Lifetime Data. John Wiley & Sons Inc., 2nd Edition, (2003).
4. Sego, L.H., Reynolds, M.R. and Woodall, W.H. "Risk adjusted monitoring of survival times", *Statistics in Medicine*, **28**(9). pp. 1386-1401(2009).
5. Steiner, S.H. and Jones, M. "Risk-adjusted survival time monitoring with an updating exponentially weighted moving average (EWMA) control chart", *Statistics in Medicine*, **29** (4), pp.444-454 (2010).
6. Zhang, L., Gan, F.F. and Loke, C.K. "Phase I study of surgical performances with risk-adjusted shewhart control charts", *Quality Technology and Quantitative Management*, **9**(4), pp. 375-382 (2012).
7. Asadzadeh, Sh. and Aghaie, A. "Improving the product reliability in multistage manufacturing and service operations", *Journal of Industrial and Systems Engineering*, **28**(4), pp. 397-407 (2012).
8. Asadzadeh, Sh., Aghaie, A., Shahriari, H. and et al. "Improving reliability in multistage processes with autocorrelated observations", *Journal of Quality Technology and Quantitative Management*, **12**(2), pp. 143-157 (2015).
9. Goodarzi, A., Amiri, A. and Asadzadeh, Sh. "Monitoring the censored lognormal reliability data in a three-stage process using AFT model", *Journal of Industrial Engineering International*, **13**(1), pp. 67-80 (2017).
10. Asadayyoobi, N. and Niaki, S.T.A. "Monitoring patient survival times in surgical systems using a risk adjusted AFT regression chart", *Quality Technology & Quantitative Management*, **14**(2), pp. 237-248 (2017).
11. Asadzadeh, Sh. and Kiadality, F. "Monitoring type-2 censored reliability data in multistage processes", *Quality and Reliability Engineering International*, **33**(8), pp. 2551-2561 (2017).
12. Xu, S. and Jeske, D.R. "Weighted EWMA charts for monitoring type-1 censored Weibull lifetimes", *Journal of Quality Technology*. **50**(2), pp. 220-230 (2018).
13. Raza, S.M.M., Ali, S. and Butt M.M. "DEWMA control charts for censored data using Rayleigh lifetimes", *Quality and Reliability Engineering International*, **38**(4), pp. 1675-1684 (2018).
14. Grigg, O. "The STRAND chart: A survival time control chart", *Statistics in Medicine*, **38**(9), pp. 1651-1661 (2019).
15. Knoth, S., Wittenberg, P. and Gan, F.F. "Risk-adjusted CUSUM charts under model error", *Statistics in Medicine*, **38**(12), pp. 2206-2218 (2019).
16. Asadzadeh, Sh. and Baghaei, A. "Robust AFT-based monitoring procedures for reliability data", *Journal of Quality Technology and Quantitative Management*, **17**(1), pp. 1-15 (2020).